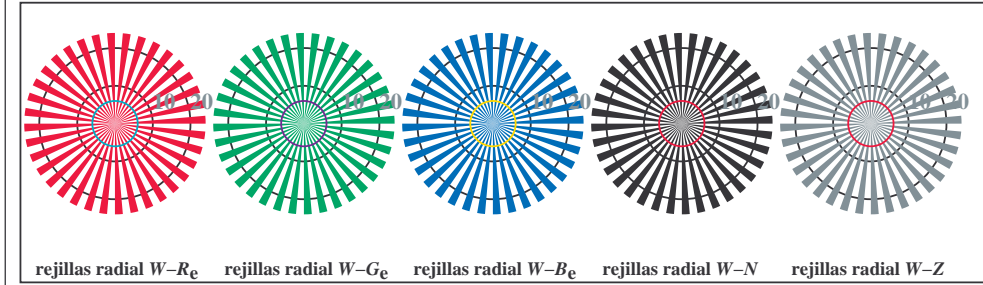
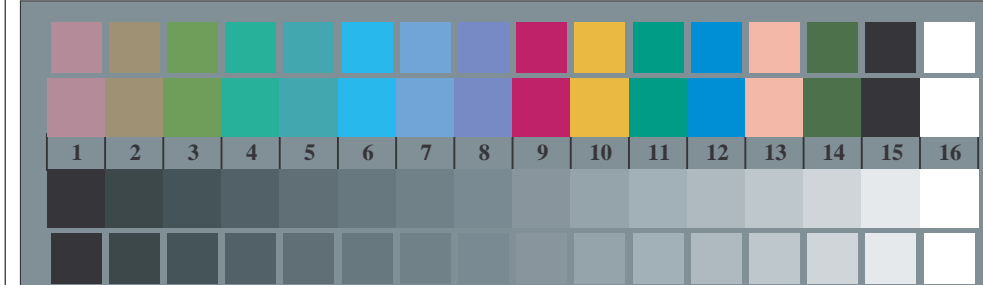




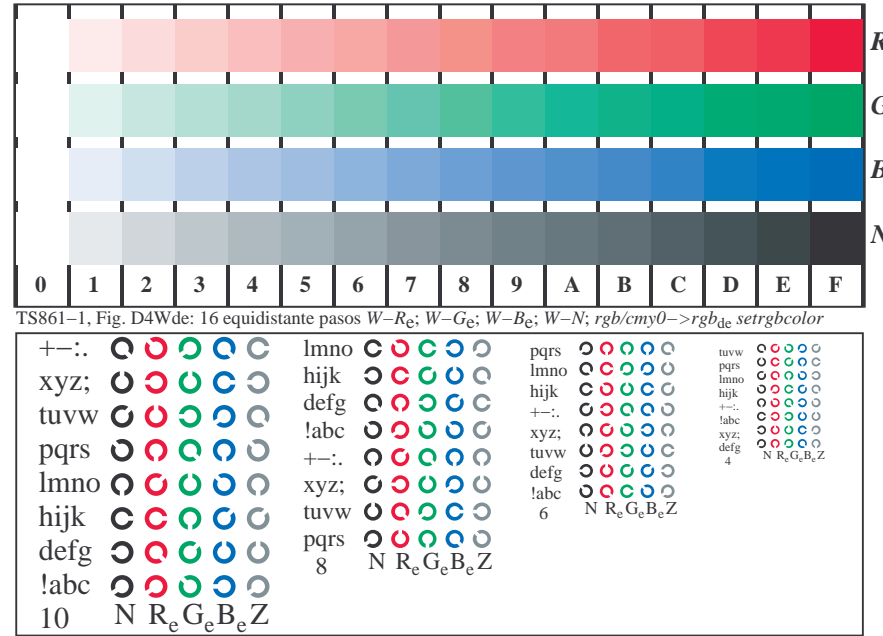
TS860-3, Fig. D1Wde: motivos florales, CIE 14 colores del test y 2 + 16 pasos de gris (sf); ; PS operator: 4 colorimage



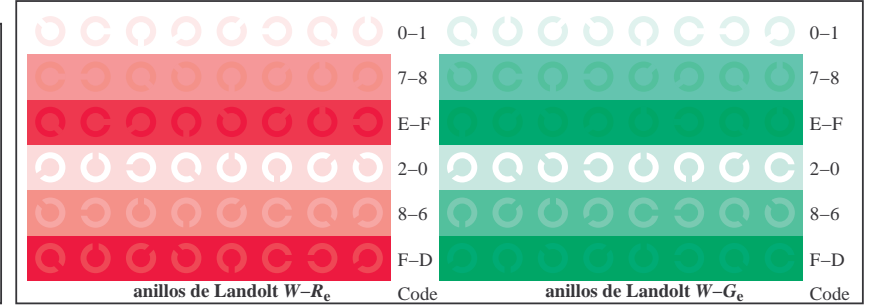
TS860-5, Fig. D2Wde: rejillas radial $W-R_E$; $W-G_E$; $W-B_E$; $W-N$; PS operator: $rgb \rightarrow rgh_{de} setrgbcolor$



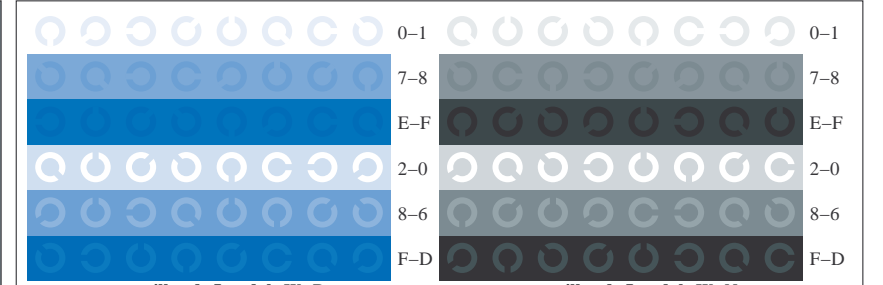
TS80-7, Fig. D2W1, CIE 14, $\lambda = 100$ nm to 2×16 nm, $\lambda_{\text{min}} = 650$ nm, PS = 0.05, $k = 0.05$, $b = 0.05$



TS861-3, Fig. D5Wde: código y Landolt annilos N ; R_E ; G_E ; B_E ; Z ; PS operator: $rgb \rightarrow rgb_{de} setrgbcolor$



TS861-5, Fig. D6Wde: anillos de Landolt $W - R_{\text{e}}$; $W - G_{\text{e}}$; PS operator: $rgb \rightarrow rgb_{\text{de}}$ setrgbcolor



anillos de Landolt $W-B_e$ Code anillos de Landolt $W-N$
 TS961-7, Fig. DTW-1